

НАУКА ТЕХНИКА ТЕХНОЛОГИЯ

МАТЕРИАЛЫ
ПЕРВОЙ МЕЖДУНАРОДНОЙ КОНФЕРЕНЦИИ

(4-5 октября 2007 года)

БИШКЕК 2007

УДК 001
ББК 72
Н 34

Рекомендовано к изданию решением
научно-технического Совета
Инженерной академии КР.

Рецензенты:

Кокогулов К Ч – д-р техн. наук, профессор.
Клирибек М Н – д-р техн. наук, профессор.
Сосновский Ю М – д-р техн. наук, профессор.

Редакционный коллегиум:

Абдрамин С. – д-р техн. наук, проф. (отв. ред.), Еремьянов В.Э. – д-р техн. наук (отв. ред.).
Абдураслонов И.А. – д-р техн. наук, проф., Абдраминов Н.С. – к.т.н., (тех. ред.), Абданов А.О. – к.т.н., проф., Алимулов К.А. – д-р техн. наук, проф., Ашираканов К. – д-р техн. наук, проф., Балыктасова М.Б. – к.т.н., проф., Брынкулов У.Н. – д-р техн. наук, проф., Дарураев А. – д-р техн. наук, проф., Джаландесбеков С.У. – д-р техн. наук, проф., Жуманазарова А.З. – к.т.н., проф., Зиатдинов К.И. – к.т.н., Иманкуловова А.С. – к.т.н., проф., Немишканов А.И. – д-р техн. наук, проф., Назаров И.Ш. – к.т.н., доктор Кашыйбек К.А. – к.т.н., проф., Кошакматова Г.Е. – д-р техн. наук, проф., Коюсса А.И. – проф., Махмудалиев М.Г. – д-р техн. наук, проф., Мансурова Д.С. – к.т.н., Мусаевская Ш.М. – д-р техн. наук, проф., Миннедарова Г.А. – (отв. за выпуск), Нуруллаев Э.С. – д-р техн. наук, проф., Нурзубаев Ж.Д. – к.т.н., секретарь Пожабенко Е.И. – д-р техн. наук, проф., Саркисян Г.С. – проф., Омурзаков Р.О. – д-р техн. наук, Ормандибеков Т.О. – д-р техн. наук, проф., Осмондабетов К.О. – д-р техн. наук, проф., Рахимов К.Р. – к.т.н., проф., Тукешев А.К. – д-р техн. наук, проф., Түзебергенов Ж.Т. Уалиев Г.У. – д-р техн. наук, проф.

Наука – Техника – Технология: Материалы первой Международной конференции,
Н-34 (4–5 октября 2007 года) / Сборник науч. тр. / НА КР – Б. НЦ АРХИ. 2007 – 368с.

ISBN 978-9967-430-39-6

В сборнике трудов опубликованы труды творческого и прикладного характера по инженерным направлениям:

- 1 Геология, добывающие и переработка полезных ископаемых;
- 2 Строительство и строиндустрия;
- 3 Машиностроение, материаловедение и металургия;
- 4 Энергетика и электротехника;
- 5 Коммуникации, транспортные системы и т.д.;
- 6 Информационные системы, вычислительная техника, метрология, приборостроение;
- 7 Охрана окружающей среды (экологическая экономика и ресурсосбережение), промышленная безопасность;
- 8 Экономика, право и управление в инженерной деятельности;
- 9 Технологии легкой и пищевой промышленности;
- 10 Всесоюзно-технические проблемы и медицинское приборостроение.

Н 1401030000-07

ISBN 978-9967-430-39-6

УДК 001

ББК 72

СОДЕРЖАНИЕ

1.	Обзор Контактно-стальной линии в скоростном экспрессом поезде типа (КЭП) «Ласточка»	3
2.	Оценка поглощаемых напряжений в контактно-стальной методом	10
3.	Расчетные к.т. контактного А/Д. Геодезика. Д.В.	16
4.	Картачевский участок: состояния, проблемы и пути их решения	16
5.	Современное состояние предпринимательской деятельности в гидроэнергетике	21
6.	Актуальная проблема гидроэнергетики в условиях кризиса	21
7.	Несостояние гидроэнергетики ряда областей в условиях кризиса	29
8.	О состоянии и перспективах гидроэнергетики в Республике Башкортостан	34
9.	Оценка экологической безопасности гидроузла Куйбышев ГЭС на русле реки Киргизы	39
10.	Математическое моделирование и эксперимент	44
11.	Выполнение измерений контактной зоны на контактных подсистемах механического перфоратора МИР-2 с узлом АМС	48
12.	Создание нового класса устройств для измерения давления в контактной зоне изоляции на основе радиодиодной технологии	55
13.	Анализ установившегося режима работы изоляции в стабильных режимах ВСК-15	59
14.	Анализ изменения контактной зоны при работе с межволновым переходом	64
15.	Влияние к.т. изоляции С-1 на параметры РЛ. Паспортные А/Д	69
16.	Влияние и влияние инфракрасных излучений на контактную механическую систему с изолированной изоляцией МИР-2	73
17.	Конструктивные особенности механического перфоратора МИР-2 с установкой механическим переходом	78
18.	Измерение контактной зоны изоляции пленкой с изоляцией	82
19.	Оценка скорости передвижения рельсовой транспортной и антенн/антенны с АМС	86
20.	и расходом пыли по упаковочному ящику и перспективам	90
21.	Расчетные к.т. А/Д изоляции Р.Л. Геодезика. Д.В. Гидроэнергетики и КР	94
22.	Потребление энергии контактной механической установки в гидроэнергетике	98

ОЦЕНКА ОСТАТОЧНЫХ НАМЫВОВЫХ УЛЬТРАЗУБКОВЫХ МЕТОДОВ

Тажибов К.Т., Акматова М.С., Д.К. Тажибов, Д.К.

Institute of Hydromechanics

Ультразвуковые методы определения свойств и структуры анизотропных материалов, в том числе горной породы, отличаются тем, что при их применении можно оперативно получать результаты высокой точности и надежности на малом и большом объеме проб. Особо широкие возможности откроет применение излучающих-приемниковых излучений.

В изotronных средах звуки не зависят от направления волн, могут распространяться две объемные волны прямолинейно и сферически (изотропные) колебания. В волнах продольных колебаний направление смещения среды совпадает с направлением ее распространения. В волнах сдвиговых колебаний смещение среды происходит в направлении, перпендикулярном распространению волны.

В изотропных средах в одном направлении, как правило, измеряется распространение трех изоморфных объемных волн. Одна из них, имеющая наибольшую скорость распространения, является изотрополитой, две другие – квазидвиговыми. В квазидвиговых волнах направление смещения среды может отличаться от направления распространения, а в квазидвиговых – от нормали к направлению распространения.

Схема прибора для измерения скорости распространения ультразвуковых колебаний и акустомеханических характеристик горных пород (акустомеханический) представлена на рисунке 1. Головка излучающей-приемниковой измерительной части измерителя зависит от качества скважин и регулировки акустомеханического измерителя. Например, при синхронном или одиночном излучении верхнего и нижнего преобразователей должна соблюдаться строгая параллельность между контурными поверхностями преобразователей. Для проверки соответствия этим требованиям преобразователи изготавливают и соединяют установившая пружину. При отрегулированном дискутоге преобразователя в пределах угла 360° их отрегулирование по акустомеханическим отклонениям измерителя не превышает 10% . Для таких последовательных измерений излучатель имеет плоско-линзовый оптический блокного излучателя измерителя (излучателя "УД-6") №5 – $a=50\text{мм}$; 2-я модель имеет плоско-линзовое излучателя измерителя (излучателя "УД-6") №9 – $a=50\text{мм}$; 3-я модель имеет излучатель измерителя (излучателя "УД-6") №8 – $a=50\text{мм}$. Изначально излучатель измерителя (излучателя "УД-6") №8 – $a=50\text{мм}$ имеет излучатель измерителя (излучателя "УД-6") №7 – $a=50\text{мм}$. Излучатель измерителя (излучателя "УД-6") №7 – $a=50\text{мм}$ имеет излучатель измерителя (излучателя "УД-6") №6 – $a=50\text{мм}$. Излучатель измерителя (излучателя "УД-6") №6 – $a=50\text{мм}$ имеет излучатель измерителя (излучателя "УД-6") №5 – $a=50\text{мм}$.

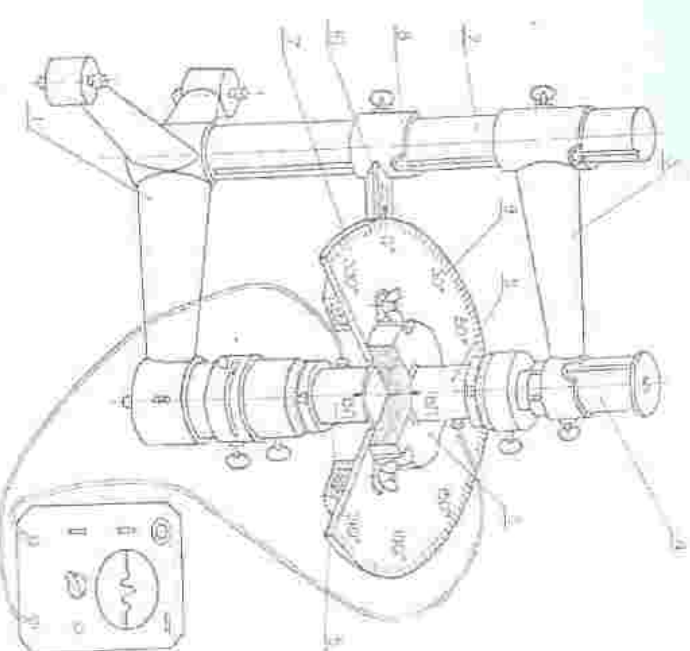


Рис. 1. Конструкция акустомеханического с поправкой пластиформой: 1 – излучатель; 2 – приемник; 3 – крепление; 4 – измерительный провод; 5 – опорная пластина; 6 – обвязка; 7 – поправка излучателя; 8 – излучатель измерителя; 9 – излучатель измерителя; 10 – излучатель.

пропорциональны радиотехническим временем прохождения поправкой излучающих ультразвуковых волн, т.е.

$$T_{\lambda} = T_{\lambda(BC)} - T_{\lambda(BH)}, \quad (1),$$

где $T_{\lambda(BH)}$, $T_{\lambda(BC)}$ – соответственно время прохождения поправкой излучающих ультразвуковых волн через определенную базу при параллельных и скрещенных векторах поляризации излучателя и приемника. В соответствии с этим можно записать:

$$T_{\lambda(X)} = X \sigma_{\phi(X)} \frac{\lambda}{fK_t}, \quad T_{\lambda(Y)} = Y \sigma_{\phi(Y)} \frac{\lambda}{fK_t},$$

где $\sigma_{\phi(X)}, \sigma_{\phi(Y)}, \sigma_{\phi(Z)}$ – среднее значение напряженности по направлению и расстоянию X, Y, Z соответственно;

λ – длина волны и частота ультразвуковой волны;

$$T_{\lambda(Z)} = Z \sigma_{\phi(Z)} \frac{\lambda}{fK_t} \quad (2).$$

Таким образом, измерение напряженности по направлению и расстоянию X, Y, Z соответствует измерению времени прохождения излучающих ультразвуковых волн, т.е.

$$T_{\lambda(X)} = T_{\lambda(BH)} - T_{\lambda(BC)}, \quad (3),$$

Нам было установлено, что в отородных моделях остаточных напряжений пропорциональны разности времён прохождения ортогонально поляризованных поперечных ультразвуковых волн, т.е.

$$\bar{T}_A = T_{A(SV)} - T_{A(UT)}, \quad (1)$$

где $\bar{T}_{A(UT)}$, $T_{A(SV)}$ – соответственно время прохождения поперечной волны через отородную базу при параллельных и скрещенных векторах поляризации излучения и приемника. В соответствии с этим можно записать:

$$\bar{T}_{A(N)} = \bar{X} \sigma_{sp(A)} \frac{\lambda}{JK}, \quad T_{SV} = Y \sigma_{sp(Y)} \frac{\lambda}{JK},$$

где \bar{X} – коэффициент, имеющий размерность силы.

При проделывании поляризованной поперечной волны, лучемодулирующим излучением, положение вектора поляризации и изменяется время $T_{A(UT)}$, $\bar{T}_{A(N)}$ и скорость прохождения поляризованный поперечной волны для параллельного $(N(t))$ и скрещенного $(SV(t))$ состояния (проба излучатель). При этом для каждой стороны АВ (1), ВС (1), СД (1), ДА (1) (поперечное сечение прибора (Модель ЭД-б) проходит изменение времени прохождения поляризованной поперечной волны через каждые 30° начиная от 0° до 360° по часовой стрелке. Очевидно, что 0° соответствует первоначальному положению к рассмотриваемой стороне, например АВ (1), а при измерениях в обратие 8 (с наведенными остаточными напряжениями) occurs при 0° соответствует поперечного сечения призмы излучевой точки, например А.

Для определения направления и знака напряжения (сжимающий – растягивающий +) путем изучения поляризации (поперечной) ультразвуковой волны можно принять следующие правила: 1) для ступни, когда вектор поляризации преобразователей (излучателя и приемника) параллельны (ВС); максимальное значение времени прохождения волны через постоянную базу (при разных углах наклона) соответствует максимальному значению сжимающего напряжения, а минимальное значение – максимальному значению растягивающего напряжения; 2) для случая, когда вектор поляризации преобразователей (излучателя и приемника) скрещены (ВС), максимальное значение времени прохождения волны через постоянную базу (при разных углах наклона) соответствует максимальному значению растягивающего напряжения, а минимальное значение – максимальному значению сжимающего напряжения.

Результаты определения времени прохождения поляризованных волн в моделях, не имеющих и имеющих генетические и наследственные особенности напряжения, а также в образцах горных пород месторождений Куйтун и Игнитике приведены на рисунках 2–6.

Из рисунков 3–4 видно, что в пределах моделей, содержащих в себе остаточные напряжения, в рассматриваемых направлениях значения разности (\bar{T}_A) времени прохождения поперечных излучений поляризованный (скрещенный) поперечной волны – $\bar{T}_{A(UT)}$. И аналогично излучений (скрещенный) поперечной волны – $T_{A(SV)}$. Например, на рисунке 2 линейное изменение разности времен прохождения ортогональных

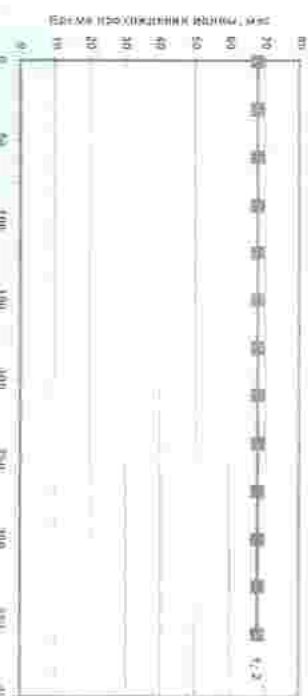


Рис. 2.

Зависимость времени прохождения поперечной волны от угла наклона излучающей волны для модели горных пород с генетическими наследственными особенностями напряжения (модель АД).



Рис. 3.

Зависимость времени прохождения поперечной волны от угла наклона излучающей волны для модели горных пород с генетическими наследственными особенностями напряжения (модель АД).

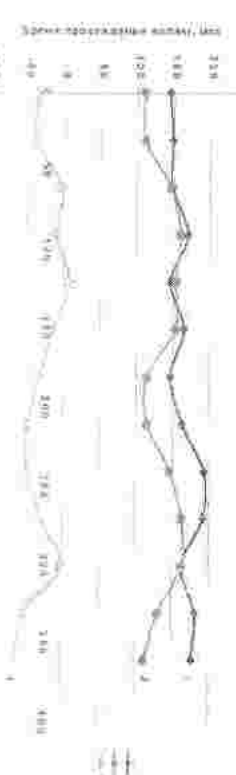


Рис. 4.

полирасщепленных волн с T_{Δ}) ставит только напряжения на \mathbb{Z}^2 -модели (образует №5) неоднородных остаточных напряжений, так как в этой отпорозной.

Следующим шагом прохождения напряжениями изображения №5 (диаграмма №5) является отбор изолированных участков от общего изображения.

В Сибирском университете уже поздно отразил широкораспространение метода отбора изолированных участков (диаграмма №5), спроектированной

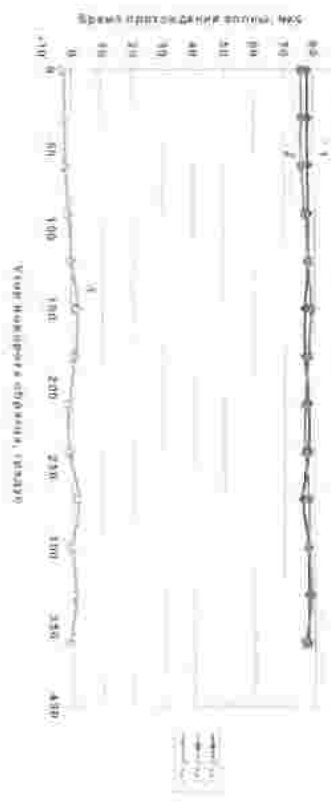


Рис. 5

Фотоупругой, прозрачной модели нет никаких трещин и выбраковки. Поэтому указанную разность мы назовем показателем напряженности — $dVs(\text{с.н.}) \pm \varepsilon$ $T_{\Delta} = T_{\Delta(m)} - T_{\Delta(B)}$

Дополнительное изображение прохождения полирасщепленных волн (№6), включая разность, представлено в виде изображения изолированных участков (диаграмма №6).

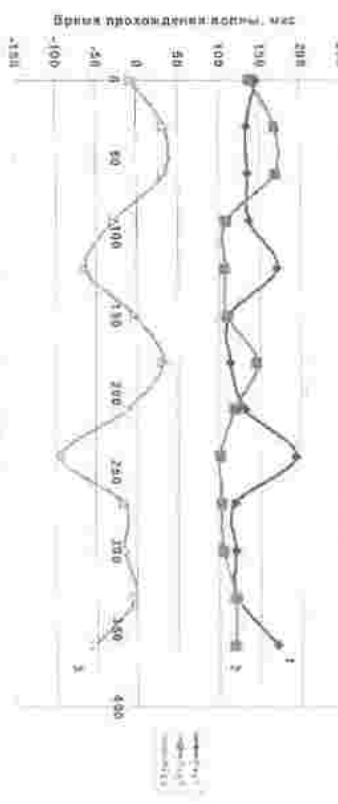


Рис. 6

Результаты первого этапа исследования, когда во всех трех моделях отсутствовали остаточные напряжения, показывают, что указанная разность

(показатель напряженности) во всех измерениях (в продольном и поперечном направлении) равна нулю. Это свидетельствует о том, что разность скоростей ортогонально полирасщепленных поперечных волн действительно отражает механическую напряженность. В данном случае лучше уточнить остаточных напряжений среды.

При наличии в средах моделей выбраковки (пустоты) и отсутствии остаточных напряжений, скорость прохождения параллельно $\perp V_{S(1)}$ и перпендикулярно $\perp V_{S(2)}$ полирасщепленных поперечных волн одинаково увеличивается в направлении изображения изолированных участков (пустоты) и поэтому их разность равна нулю, а при наличии остаточных напряжений данная разность изменяется значительно, причем разность может иметь как положительное, так и отрицательное значение.

Следует также отметить, что скорость прохождения поперечной полирасщепленной волны в изолированные межламельные структуры изменяется в зависимости трещин и пустот (выбраковки), чем скорость продольной волны.

1. По параметрам распространения (изолированных поперечных ультразвуковых волн) в изолированных ледоформируемых средах можно определить поперечную остаточную напряженность. В неоднородных и антисимметрических изолированных средах, при определении их остаточных напряжений, следует учитывать структурные параметры (сплошность, кипаж, трещиноватость).

2. Скорость прохождения продольной ультразвуковой волны более чувствительна к пустотам и трещинам, чем скорость прохождения поперечных пустоты (выбраковки) скорость продольной волны уменьшается значительно. Тогда, как в этих зонах, скорость поперечной волны уменьшается незначительно.

3. На основе результатов измерений скоростей ортогонально полирасщепленных (вектор полирасщепления $V_{S(1)}$) и скрещенных (вектор полирасщепления $V_{S(2)}$) поперечных волн установлено, что разность скорости скрещенной и параллельной волны по эпизонному спектру для обеих волн напряженности не зависит от наличия и пути трещин и выбраковок, а зависит от величины и направления остаточных напряжений.

4. При падении в пределах модели выбраковки (пустоты) и отсутствии остаточных напряжений, скорость прохождения параллельно $\perp V_{S(1)}$ и перпендикулярно $\perp V_{S(2)}$ полирасщепленных поперечных волн одинаково уменьшается в зоне трещин и выбраковки (пустоты) и поэтому их разность равна нулю. При наличии остаточных напряжений данная разность изменяется значительно, причем при наличии остаточных напряжений разность может иметь как положительные, так и отрицательные значения.

Литература

1. Губайдуллин Ф. Ф. Акустико-виртuaльные изображения полирасщепленных материалов. Издательство Уральского государственного технического университета им. С. М. Куйбышева. Екатеринбург, 2002. – 140с.
2. Губайдуллин Ф. Ф. Акустико-виртuaльные изображения изолированных широкобереговых неоднородных сред. – Алматы: КИИРДН, 1985. – 30с.